

Несмотря на сравнительно невысокое Н/С в толуоле, в газообразных продуктах пиролиза оно оказалось очень высоким за счет большого количества водорода в газе. Водород выделяется на всей высоте пламени в результате конденсации сначала молекул толуола, а затем последующего уплотнения высокомолекулярных жидких продуктов в твердые образования, которые обнаруживаются по всей высоте пламени.

При пиролизе уротропина отношение Н/С в составе газообразных продуктов пиролиза резко изменяется у основания факела, где происходит отложение твердых образований с выделением водорода. Последующие изменения незначительны и примерно на одной трети по высоте факела в газе остается почти один водород. Основные изменения в процессе пиролиза уротропина происходят у основания факела.

Таким образом, разработан метод изучения процесса высокотемпературного пиролиза веществ различного агрегатного состояния в диффузионном ламинарном пламени и метод отбора продуктов пиролиза.

Установлено, что после воспламенения газообразного, жидкого и твердого топлива внутри диффузионного ламинарного пламени образуется зона пиролиза, структура пламени, температура, состав и количество продуктов пиролиза в различных точках зоны пиролиза зависят от строения, состава и свойства исходных соединений.

В зоне пиролиза диффузионного ламинарного факела вначале образуются газообразные и высокомолекулярные продукты пиролиза. С изменением температуры по высоте и диаметру факела происходит превращение газообразных углеводородов в конечные продукты пиролиза (водород и сажу), а высокомолекулярные продукты претерпевают дальнейшее уплотнение в кокс с выделением водорода. Высокомолекулярные и твердые продукты пиролиза образуют зону светящегося углерода. Таким образом, в зону реакции пламени поступают конечные продукты пиролиза, которые взаимодействуют с кислородом воздуха.

Из зоны реакции внутрь факела диффундируют продукты горения ( $N_2$ ,  $CO_2$ ,  $CO$  и  $H_2O$ ).

Окислы углерода и водяной пар взаимодействуют с углеродом светящейся зоны с образованием продуктов газификации  $CO$  и  $H_2$ , которые тоже попадают в зону реакции и топлива.

Поступила в редакцию  
10/VIII 1968

УДК 536.46

## О СУММАРНОЙ КИНЕТИКЕ ГОРЕНИЯ УГЛЕВОДОРОДНЫХ ГОРЮЧИХ

B. L. Зимонт, Ю. М. Трушин  
(Москва)

Для расчета газодинамических процессов, проходящих в горючих газовых смесях, в зоне горения должна быть известна скорость тепловыделения как функция состояния газовой смеси. Интенсивность тепловыделения при горении, определяющаяся процессами химической

кинетики, в настоящее время для углеводородных горючих не может быть определена теоретически и должна находиться опытным путем.

Прямое экспериментальное определение скоростей тепловыделения в зоне горения представляет большие трудности в силу высоких температур и малых времен реакций. В литературе описаны по существу лишь два метода, позволяющие определить абсолютные величины скоростей тепловыделения: путем измерения масс-спектрометром концентраций компонентов вдоль зоны горения в плоском ламинарном пламени, организованном при пониженных давлениях на пористой горелке, и при исследовании срывных характеристик горения в гомогенном реакторе.

Профиля концентраций и скорости потока, найденные экспериментально в метано-кислородном пламени, позволили при известных величинах коэффициентов диффузии найти распределения абсолютных скоростей реагирования компонентов вдоль зоны реакции [1].

Используя экспериментальные значения параметров, при которых имеет место срыв горения изооктано-воздушной смеси в реакторе, удалось подобрать такие коэффициенты в выражения для скорости суммарной реакции (константы реакции, энергия активации, порядок реакции), которые правильно описывают результаты экспериментов в широком диапазоне параметров смеси [2].

В настоящей статье приводятся результаты экспериментального исследования процесса горения, полученные путем измерения концентрации кислорода поперек зоны реакции фронта пламени, организованном в канале в скоростном ( $\sim 50 \text{ м/сек}$ ) потоке керосино-воздушной смеси.

Данные по суммарной кинетике горения углеводородов, полученные разными методами, сравниваются между собой с тем, чтобы рекомендовать кинетические соотношения, позволяющие наиболее правильно для современного уровня знания описать абсолютные скорости тепловыделения при горении углеводородных топлив.

### ИССЛЕДОВАНИЕ ПРОЦЕССА ВЫГОРАНИЯ В СКОРОСТНОМ ПОТОКЕ

Рабочая часть установки, на которой производилось исследование, показана на рис. 1. В поток подогретого воздуха в цилиндрическом отсеке диаметром 100 мм через коллектор подавался испаренный керосин. Коллектор состоял из набора плоскопараллельных трубочек, расположенных друг от друга на расстоянии 6 мм, в которых в шахматном порядке с шагом 6 мм под углом к потоку в 30° расположено 400 отверстий диаметром 0,4 мм. Вслед за цилиндрическим отсеком камеры монтировался конический с углом раскрытия 4° длиной 1,5 м, в котором устанавливался фронт пламени. Длина цилиндрического отсека менялась в зависимости от начальной температуры потока в соответствии с изменением периода индукции смеси. (Более подробное описание установки приведено в [3].)

В процессе экспериментов проводились исследования изменения концентрации кислорода в направлении, перпендикулярном к фронту пламени. Отбор пробы осуществлялся посредством охлаждаемого газоотборника, который в ходе эксперимента передвигался вдоль оси конического отсека камеры. Для уменьшения длины тракта отбора газоанализатор, помещенный в специальный термостат, монтировался на тележке координатника.

Для измерения концентрации кислорода использовался специально изготовленный малоинерционный термомагнитный газоанализатор ком-

иенсационного типа. В конструкции такого газоанализатора была улучшена внутренняя газодинамическая схема и применены открытые вольфрамовые спирали. Это позволило уменьшить постоянную времени прибора (время изменения показаний прибора при быстром переключении подачи с чистого азота на чистый кислород) до 0,32 сек, а с учетом при-

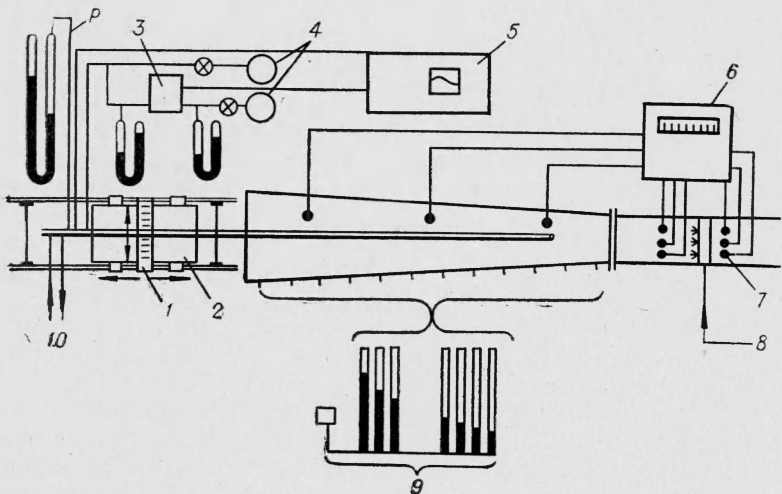


Рис. 1. Рабочая часть установки.

1 — координатник; 2 — тележка; 3 — газоанализатор; 4 — вакуумные помпы; 5 — осциллограф; 6 — ЭПП-09; 7 — термопары; 8 — подача топлива; 9 — батарея манометров; 10 — вход и выход воды.

менявшегося тракта отбора пробы — до 0,4 сек. Компенсационная схема прибора при хорошей балансировке моста давала возможность получить независимость показаний прибора от его ориентации в пространстве, что позволило применить его в условиях рассматриваемых экспериментов. (Подробное описание прибора дано в [4].)

При эксперименте задавались некоторые температура и скорость воздуха, после чего в поток через коллектор вводилось необходимое количество испаренного топлива. Это приводило к образованию фронта пламени в конической части камеры. Исследование распределения температуры в поперечном направлении показало, что стационарный фронт пламени не плоский и выпуклостью обращен в сторону коллектора.

В процессе передвижения газоотборника производилась запись показаний газоанализатора и координат газоотборника на шлейфовый осциллограф. Кроме этого, регистрировались: расходы воздуха и топлива, температура потока в различных местах по тракту установки, температура стенки камеры, температура топлива, давление вдоль тракта установки и полное давление, измеряемое насадком, смонтированным как одно целое с координатником. Просос пробы через газоанализатор осуществлялся с помощью форвакуумного насоса.

Расшифровка осциллограмм позволяла построить зависимости от продольной координаты доли израсходованного кислорода, отнесенной к потреблению кислорода при полном сгорании  $\varepsilon$ . Пересчет к кривым выгорания по времени  $\varepsilon(\tau)$  осуществлялся с помощью измеряемых величин — коэффициента скорости (по  $p/p_0$ ) и температуры (по  $\varepsilon$ ).

Анализ показывает, что пересчет  $\varepsilon(\tau)$  с учетом действительного профиля полного давления и при его линейной аппроксимации приводит к близким результатам.

В проведенных экспериментах при стационарном положении фронта пламени ширина зоны выгорания была одного порядка с расстоянием от места впрыска топлива до области воспламенения, определяемым по началу заметного поглощения кислорода ( $\sim 1$  м). Оказалось, что

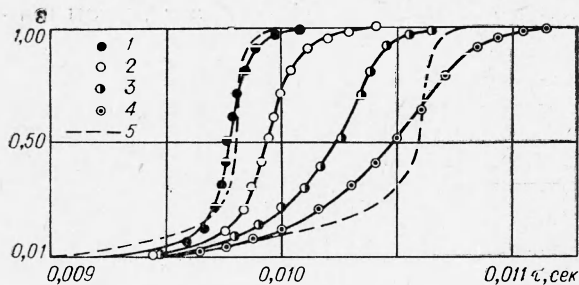


Рис. 2. Зависимость доли израсходованного кислорода  $\varepsilon$  от времени  $\tau$ ; температура потока  $1070^{\circ}\text{K}$ ; концентрация кислорода  $f_0=0,17$ ;  $\tau$  отсчитывается с момента впрыска топлива.  
1 —  $\alpha=1,0$ ; 2 —  $\alpha=0,9$ ; 3 —  $\alpha=0,7$ ; 4 —  $\alpha=0,6$ ; 5 — кривые выгорания для  $\alpha=0,6$  и  $\alpha=1$ .

такая большая ширина зоны выгорания связана с наличием пульсаций температуры. Замеры малоинерционным термометром сопротивления показали, что амплитуда пульсаций достигает  $50^{\circ}$ . Это приводит к воспламенению молей газа с разной температурой на различных расстояниях от места подачи горючего и соответствующему увеличению средней ширины зоны выгорания, замеряемой в опытах.

При уменьшении разницы между температурой потока и стенки пульсации температуры в потоке уменьшались. Поэтому были проведены опыты, в которых стенка предварительно прогревалась путем повышения температуры воздуха на  $200-300^{\circ}$  по сравнению с температурой заданного режима; замер кривой выгорания проводился, когда температуры стенки и потока были близкими.

Интересно отметить, что в таких опытах фронт пламени был обращен выпуклостью в сторону выхода канала, так как воспламенение вблизи нагретой стенки происходило раньше, чем на оси потока. При этом фронт пламени не был стационарным и по мере прогрева стенки медленно перемещался по направлению к коллектору.

На рис. 2 приведены результаты эксперимента для разных коэффициентов избытка воздуха  $\alpha$ . При построении кривых были совмещены моменты начала выгорания (в опытах момент воспламенения менялся в пределах 0,001 сек из-за неточности в поддержании начальной температуры потока). Амплитуда пульсаций температуры, согласно замерам, была не больше  $\sim 4-5^{\circ}$ . Как следует из рис. 2, время выгорания много меньше времени индукции.

Следует отметить, что точность замеров кривых выгорания, приведенных на рис. 2, вследствие небольшой ширины зоны выгорания невелика. Ошибка из-за инерционности газоанализатора может достигать в этих условиях 30—50%.

#### СОПОСТАВЛЕНИЕ ЭКСПЕРИМЕНТАЛЬНЫХ РЕЗУЛЬТАТОВ, ПОЛУЧЕННЫХ РАЗНЫМИ МЕТОДАМИ

С точки зрения тепловыделения интенсивность процесса горения удобнее выражать не через скорость уменьшения концентрации исходного горючего, а через скорость потребления кислорода. Это связано с тем обстоятельством, что интенсивность тепловыделения пропорциональна скорости использования кислорода.

На рис. 3 приведены скорости потребления кислорода и интенсивности тепловыделения, рассчитанные для точек вдоль зоны реакции по экспериментальным скоростям реагирования компонентов смеси, найденным в [1] для метано-кислородного пламени (исходные концентрации метана и кислорода 0,078 и 0,919).

Для определения соотношения между потреблением кислорода и тепловыделением была также найдена (по данным полного химического анализа пробы из зоны горения за точечным источником воспламенения гомогенной керосино-воздушной и бензино-воздушной смеси с коэффициентом избытка воздуха  $\alpha=1-2$ ) зависимость между полнотой сгорания и долей израсходованного кислорода, подтвердившая пропорциональность между указанными величинами.

Выражение кинетики процесса через скорость потребления горючего может привести к неправильному представлению об интенсивности тепловыделения, поскольку в силу сложного характера процесса исходное горючее проходит ряд промежуточных этапов, прежде чем образуются конечные продукты сгорания. В частности, при избытке окислителя в зоне горения происходит накопление окиси углерода, которая затем окисляется до двуокиси углерода и воды [1].

Представляется целесообразным в уравнении, описывающем суммарную кинетику горения, выражать скорость потребления кислорода не через относительные объемные, а через относительные массовые концентрации горючего и окислителя. В этом случае нет необходимости знать молекулярный вес горючего, определение которого может дополнительно осложниться его термическим разложением в потоке.

Кроме этого, имеются экспериментальные данные, свидетельствующие о том, что при одинаковых массовых соотношениях горючего и окислителя кинетические характеристики горения разных углеводородов близки. В [6] приводятся данные, показывающие, что при одинаковых коэффициентах избытка воздуха параметры, при которых имеет место срыв горения пропано-воздушных и изооктано-воздушных смесей в гомогенном реакторе, близки.

Кинетические соотношения, полученные в [2] для изооктана, можно записать через относительные массовые концентрации, причем считать несгоревшим горючим первоначальный углеводород или окись углерода (последнее имеет место в зоне интенсивного тепловыделения при избытке окислителя):

$$-\frac{d [O_2]}{dt} = 3,3 \cdot 10^{10} e^{-\frac{40000}{RT}} \frac{P^2}{T^{1.5}} f_{C_n H_m} f_{O_2} \text{ моль/сек} \cdot \text{см}^3, \quad (1)$$

$$-\frac{d [O_2]}{dt} = 1,3 \cdot 10^{10} e^{-\frac{42000}{RT}} \frac{P^2}{T^{1.5}} f_{CO} f_{O_2} \text{ моль/сек} \cdot \text{см}^3, \quad (2)$$

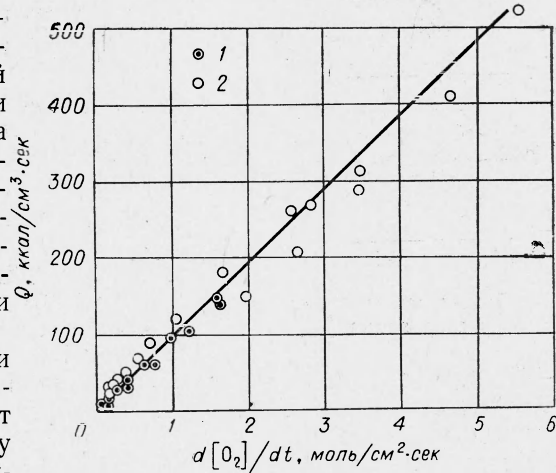


Рис. 3. Зависимость интенсивности тепловыделения от скорости потребления кислорода.  
1 —  $p=0,05$  бар; 2 —  $p=0,1$  бар.

где  $p$  — давление, бар;  $R$  — универсальная газовая постоянная ( $1,987 \text{ г} \cdot \text{кал}/\text{г} \cdot \text{моль} \cdot {}^\circ\text{К}$ ). В (1) и (2) молекулярный вес реагирующей смеси принимался равным 28,3.

Суммарный порядок реакции горения, полученный в [2] и равный 1,8—2,0, совпадает с величиной, найденной в [1] путем сопоставления профилей температуры и концентраций в пламенах при давлении 0,05 и 0,1 атм, равной двум.

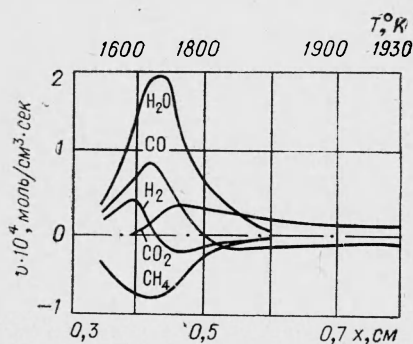


Рис. 4. Экспериментальные скорости реагирования [1].

10—20%). Это позволяет непосредственно использовать уравнения (1) и (2) для определения абсолютных скоростей тепловыделения углеводородных горючих.

На рис. 4, 5 приведено сопоставление экспериментального тепловыделения, имеющего место в плоском метано-кислородном пламени при давлении 1/20 бар, и результатов расчета этого тепловыделения по формулам (1) и (2). Как следует из рисунков, соответствие между экспериментальным и рассчитанным тепловыделением в зоне интенсивного тепловыделения вполне удовлетворительное. Завышение рассчитанной скорости тепловыделения в конце зон горения может быть объяснено тем, что в зоне интенсивного тепловыделения имеет место увеличенная на порядок по сравнению с равновесной концентрация гидроксила OH [1]. Поэтому использование суммарного кинетического уравнения, выражающего скорость реакции через концентрации горючего и окислителя и правильно описывающего тепловыделение в зоне интенсивного горения, в конце зоны реакции, где концентрация активных частиц близка к равновесной, будет завышать скорости реакции.

Расчет тепловыделения по кинетической формуле для метана, полученной в [7] и аппроксимирующей эксперименты в самом начале зоны горения, не позволяет правильно рассчитать тепловыделение в зоне интенсивного горения (см. рис. 5, 5).

На рис. 2, 5 обозначены рассчитанные кривые выгорания для  $\alpha=0,6$

Интересно отметить, что из термохимических свойств углеводородов [5] следует, что для всех простых углеводородов и для сложных углеводородных горючих (бензин, керосин) тепловой эффект при горении на единицу массы использованного кислорода примерно одинаков и составляет в пределах  $\pm 3\text{--}5\%$  100000 кал на 1 моль потребленного кислорода (кроме некоторых углеводородов группы бензола, для которых отличие от указанной цифры может достигать

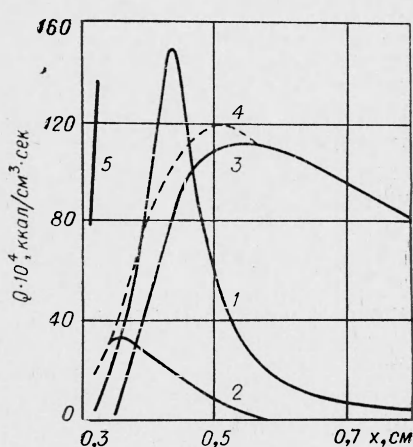


Рис. 5. Сравнение экспериментальных значений тепловыделения для плоского метано-кислородного пламени при  $p=0,05$  бар и результатов расчета по формулам (1) и (2).

1 — расчет по данным, приведенным на рис. 4; 2 и 3 — расчет по формулам (1) и (2), где использованы экспериментальные значения  $f_{C_nH_m}$ ,  $f_{CO}$  и  $f_{O_2}$  и температуры; 4 — кривая суммарного тепловыделения; 5 — тепловыделение по кинетической формуле для метана [7].

и  $\alpha=1$  в предположении одностадийности реакции горения с использованием уравнения (1), совмещенные с соответствующими экспериментальными кривыми. Расчет выгорания по времени осуществлялся в пренебрежении диффузией и теплопроводностью вдоль зоны выгорания; давление вдоль зоны реакции принималось постоянным.

Изменение температуры в ходе реакции находилось с использованием равновесных значений теплоемкости  $C_p(T)$ , доля выделения тепла при горении принималась пропорциональной  $\varepsilon$ , а эффективные значения теплового эффекта реакции находились из условия, чтобы температура продуктов сгорания при  $\varepsilon=1$  совпадала с равновесной температурой (в данном случае при  $\alpha=0,6$  и  $\alpha=1$   $T=1960^\circ\text{K}$  и  $T=2340^\circ\text{K}$  соответственно).

Из рис. 2 следует, что соответствие расчета и эксперимента для кинетических расчетов вполне удовлетворительное.

На основании сопоставления между расчетом и экспериментальными данными, приведенными на рис. 2 и 4, 5, можно сделать вывод, что соотношения (1) и (2) можно рекомендовать до проведения более детальных исследований для количественной оценки суммарных скоростей горения углеводородных горючих; при этом использование одного соотношения (1) позволяет описать суммарную кинетику горения как одностадийный процесс, а совместное использование (1) и (2) — как двухстадийный процесс, имеющий место при избытке окислителя: до окиси углерода — согласно уравнению (1) и последующего додоргания в образующейся смеси окиси углерода до двуокиси углерода — согласно уравнению (2).

Для нахождения времен индукции углеводородных горючих (при отсутствии в горючей смеси паров воды) в интервале температур  $1000—2500^\circ\text{K}$  можно рекомендовать формулу, полученную путем анализа экспериментальных данных по задержкам воспламенения в потоке, в движущейся детонационной волне и за отраженной ударной волной [3]

$$\tau = 6 \cdot 10^{-10} p^{-2} f_{O_2}^{-1,3} e^{\frac{15200}{T}} \text{ сек.} \quad (3)$$

Формула (3) несколько отличается от приведенной в [3]; это связано с тем, что при получении аппроксимирующей формулы (3) были скорректированы данные по задержкам, полученные Вагнером в движущейся детонационной волне.

Поступила в редакцию  
9/VI 1969

#### ЛИТЕРАТУРА

1. A. Westenberg, M. Fristrom. J. Phys. Chem., 1961, **65**, 591.
2. I. Longwell, M. Weiss. Ind. Eng. Chem., 1955, **47**, 1634.
3. В. Л. Зимонт, Ю. М. Трушин. ФГВ, 1967, **3**, 1.
4. Ю. М. Трушин. «Передовой научно-технический опыт». Сер. «Приборы для исследования физических свойств газов, жидкостей и контроля теплоэнергетических параметров». М., ГОСИНТИ, 1962, 8.
5. Н. Ф. Дубовкин. Справочник по углеводородным топливам и их продуктам сгорания. М., Госэнергоиздат, 1962.
6. A. Clarke, A. Haggis, J. Odgers. 7-th Symposium on Combustion, 1959.
7. Г. И. Козлов. ИФЖ, 1958, **1**, 7.